

УДК 621.182.2.001.57

Є.Є. ЧАЙКОВСЬКА, канд. техн. наук; доц., с.н.с. ОНПУ, Одеса

ПІДТРИМКА АКУМУЛЮВАННЯ НА РІВНІ ПРИЙНЯТТЯ РІШЕНЬ

Запропоновано прогнозування зміни параметрів технологічного процесу акумулювання енергії на основі оцінки зміни теплової акумулюючої ємності

Ключові слова: технологія, акумулювання, прийняття рішень.

Вступ

Відомі методи оптимізації – економічний, ексергетичний, термоекономіки дозволяють визначати оптимальні умови експлуатації енергетичних систем без урахування зміни теплової акумулюючої ємності, що ускладнює узгодження виробництва та споживання енергії та потребує додаткового обладнання [1]. Так, наприклад, в складних умовах непостійності вітрового потоку та споживання енергії функціонування вітроенергетичних установок (ВЕУ) потребує не тільки удосконалення конструктивних рішень, а й встановлення енергозберігаючих режимів акумулювання енергії для зменшення терміну використання природного палива. В існуючих технологіях підтримки функціонування ВЕУ використовують не завжди достовірне вимірювання напруги заряду та розряду, наприклад, свинцево-кислотного електроакумулятора, що відбувається пізніше за часом, ніж зміна температури електроліту, її щільноті в порах пластин та над пластинами, що може привести до як можливого перезаряду електроакумулятора, так і недопустимого розряду. Тому, для підвищення якості електроакумулювання використовують додаткові інвертори, конденсатори, перемикачі, т.і., що значно здорожує виробництво електроенергії. Більш того, принципові схеми ВЕУ не враховують можливості акумулювання теплоти у перерозподілі енергії, що акумулюється [2].

1 Постановка задачі

Реальні умови функціонування енергетичних систем потребують функціональної оцінки зміни теплової акумулюючої ємності, яка, відтворюючи виробництво та споживання енергії у співвідношенні, надає можливість прогнозувати зміну параметрів технологічного процесу, а не ліквідувати наслідки їх зміни [3–6].

Так, для прогнозування зміни напруги заряду та розряду при електроакумулюванні необхідно здобути аналітичну оцінку зміни температури електроліту в порах пластин та над пластинами при вимірюванні температури електроліту в об'єму електроакумулятора, що відбувається раніше за часом. У зв'язку із значною тепловою ємністю теплоелектроакумулятора необхідно прогнозувати зміну температури води, що нагрівається, та упереджено узгоджувати заряд теплоелектроакумулятора зі зміною витрати води, впливаючи на зміну потужності ВЕУ.

2 Рішення задачі

З цією ціллю з використанням математичного обґрунтування архітектури технологічних систем [3–6] запропоновано технологічну систему акумулювання, що заснована на узгоджений взаємодії інтегрованої динамічної підсистеми – електроакумулятора та теплоелектроакумулятора як основи та блоків заряду, розряду, взаємодії з АСУ щодо забезпечення безперервності технологічного процесу акумулювання (рис. 1).

© Є.Є. Чайковська, 2013

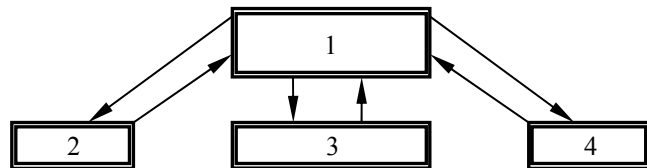


Рис. 1 – Архітектура технологічної системи акумулювання:
1 – інтегрована динамічна підсистема – електроакумулятор та теплоелектроакумулятор;
2 – блок заряду; 3 – блок розряду; 4 – блок взаємодії з АСУ

Представлену математичну модель динаміки зміни температури електроліту в порах пластин та над пластинами [6] доповнюємо математичною моделлю динаміки зміни температури води в теплоелектроакумуляторі. Система диференціальних рівнянь включає рівняння стану як оцінку фізичної моделі теплоелектроакумулятора, рівняння енергії заряду щодо істотного параметра, що діагностується – температури робочого тіла із представленням її зміни не тільки в часі, але й уздовж просторової координати нагрівача. В результаті реалізації системи нелінійних диференціальних рівнянь отримана передатна функція за каналом: «температура води, що нагрівається – витрата води», що має такий вид:

$$W_{t-G1} = \frac{K_b \varepsilon (1 - L_3^*)}{L_b \beta \gamma} (1 - e^{-\gamma_1 \xi}), \quad (1)$$

де

$$K_b = \frac{m(\theta_0 - t_0)}{G_0}; \quad \varepsilon = \frac{\alpha_{30} h_{30}}{\alpha_{b0} h_{b0}}; \quad L_3^* = \frac{1}{L_3 + 1}; \quad L_3 = \frac{G_3 C_3}{\alpha_{30} h_{30}};$$

$$L_b = \frac{G_b C_b}{\alpha_{b0} h_{b0}}; \quad \beta = T_m S + \varepsilon^* + 1; \quad T_m = \frac{g_m C_m}{\alpha_{b0} h_{b0}}; \quad \varepsilon^* = \varepsilon (1 - L_3^*);$$

$$\gamma = \frac{(T_b S + 1) \beta - 1}{L_b \beta}; \quad T_b = \frac{g_b C_b}{\alpha_{b0} h_{b0}}; \quad \gamma_1 = \frac{(T_b S + 1) \beta - 1}{\beta}; \quad \xi = \frac{z}{L_b},$$

де t, θ – температура робочого тіла, стінки нагрівача, К, відповідно; G – витрата речовини, кг/с; C – питома теплоємність, кДж/(кг·К); α – коефіцієнт тепловіддачі, кВт/(м²·К); h – питома поверхня, м²/м; g – питома маса речовини, кг/м; z – координата довжини нагрівача, м; T_b, T_m – постійні часу, що характеризують теплову акумулюючу здатність робочого тіла, метала, с; m – показник залежності коефіцієнта тепловіддачі від витрати; S – параметр перетворення Лапласа. Індекси: b – внутрішній потік, m – металева стінка, 3 – зовнішній потік; $0, 1$ – початкові умови, вхід в теплоелектроакумулятор, відповідно.

З використанням метода графа причинно-наслідкових зв'язків [3–6] розроблена інтегрована логічна модель контролю працездатності динамічної підсистеми щодо здобуття інформації на рівні прийняття рішень.

Так, блок контролю впливів CT_1 здобуває повідомлення щодо зміни початкових умов функціонування вітроенергетичної установки, обумовлених появою впливів, що обурюють. При незмінній витраті електроліту змінюється його температура на вході в електроакумулятор (зменшується) (–) чи збільшується (+) при незмінній температурі електроліту на виході із електроакумулятора, що обумовлено, розрядом чи зарядом електроакумулятора, відповідно:

$$TS = ((D(P(\tau)(CT_1(\tau), (x_0(\tau), x_1(\tau)(G_{\text{зар.}}(\tau)(0), G_{\text{поз.}}(\tau)(0)), \\ x_2(\tau)(t_{\text{e вх.}}(\tau)(-)(+), t_{\text{e вих.}}(\tau)(0)(0))))))), Z_{C1}(\tau). \quad (2)$$

Так, при незмінній витраті води в теплоелектроакумуляторі змінюється температура нагрівача згідно зміні потужності (збільшується) (+), що обумовлює заряд:

$$TS = ((D(P(\tau)(C_1(\tau), (x_0(\tau), x_1(\tau)(G_{\text{в.}}(\tau)(0), t_{\text{h.}}(\tau)(+)), x_2(\tau)(t_{\text{в.}}(\tau)(+))))))), Z_{C1}(\tau). \quad (3)$$

Ці повідомлення, що поступають від блоку контролю CT_1 , є причиною здобуття оцінки зміни таких параметрів від блоку контролю CT_2 :

– температури пластиини електроакумулятора

$$(CT_2(\tau)(f(\tau)(\theta(\tau)(-)(+)(t_{\text{e вх.}}(\tau)(-)(+)))), Z_{C2}(\tau); \quad (4)$$

– температури стінки нагрівача теплоелектроакумулятора

$$(C_2(\tau)(f(\tau)(\theta(\tau)(+)(t_{\text{h.}}(\tau)(+), t_{\text{в.}}(\tau)(+)))), Z_{C2}(\tau). \quad (5)$$

Повідомлення, що поступають від блоку контролю CT_2 , є причиною здобуття оцінки зміни таких параметрів від блоку контролю CT_3 :

– коефіцієнта передатної функції $K_{\text{в.}}$ для електроакумулятора

$$(CT_3(\tau)(K(\tau)(K_{\text{в.}}(\tau)(+)(-)))), Z_{C3}(\tau); \quad (6)$$

– для теплоелектроакумулятора

$$(C_3(\tau), (K_{\text{в.}}(\tau)(+))), Z_{C3}(\tau). \quad (7)$$

Повідомлення, що поступають від блоку контролю CT_3 , є причиною здобуття оцінки зміни таких параметрів від блоку контролю CT_4 :

– істотного параметра, що діагностується – температури електроліту в порах пластин та над пластиинами (збільшується чи зменшується) у зв'язку з розрядом чи зарядом електроакумулятора)

$$(CT_4(\tau)(y(\tau)(t_{\text{еп.}}(\tau)(+)(-)))), Z_{C4}(\tau); \quad (8)$$

– істотного параметра, що діагностується – температури води в теплоелектроакумуляторі (збільшується) у зв'язку з зарядом теплоелектроакумулятора

$$(CT_4(\tau), (y(\tau)(t_{\text{в.}}(\tau)(+)))), Z_{C4}(\tau). \quad (9)$$

Від блоку контролю CT_5 здобуваємо оцінку зміни динамічних параметрів:

– для електроакумулятора

$$(CT_5(\tau)(d(\tau)(\Delta t(\tau)/\Delta t_{\text{ct.поз.}}(\tau)(-)(+)))), Z_{C5}(\tau); \quad (10)$$

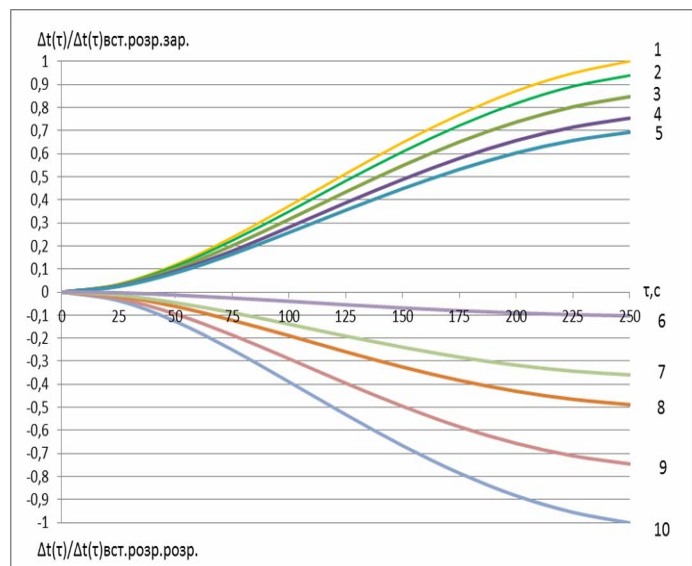
– для теплоелектроакумулятора

$$(CT_5(\tau), (d(\tau)(\Delta t(\tau)(+))), Z_{C5}(\tau)). \quad (11)$$

Процес заряду електроакумулятора, що супроводжується підвищеннем щільності електроліту в порах пластин та над пластиналами викликає нагрів електроліту в об'ємі акумулятора, який можливо контролювати як у фіксований інтервал часу, так і впродовж заряду при безперервному вимірюванні температури електроліту на вході та на виході із акумулятора.

Здобуття підсумкової інформації від блоку контролю CT_C :

$$(CT_C(\tau)(\Delta t(\tau)/\Delta t_{\text{вст.розр.зар.}}(\tau) < \Delta t_{\text{розр.}}(\tau)/\Delta t_{\text{вст.розр.зар.}}(\tau))), \quad (12)$$



інформації від блоку контролю CT_C :

$$(CT_C(\tau)(-\Delta t(\tau)/-\Delta t_{\text{вст.розр.роз.}}(\tau) > -\Delta t_{\text{розр.}}(\tau)/\Delta t_{\text{вст.розр.роз.}}(\tau))), \quad (14)$$

надає прогнозуючу оцінку зміни температури електроліту в порах пластин та над пластиналами для прийняття рішень на заряд електроакумулятора:

$$(P(\tau)(t_e(\tau)(+))), Z_{CC}(\tau). \quad (15)$$

Виконання такого рішення надає можливість запобігти недопустимого розряду раніше за часом, тобто до встановлення граничної зміни напруги (см. рис. 2).

На основі здобутих динамічних характеристик зміни температури електроліту в порах пластин та над пластиналами в фіксований інтервал часу можливо визначити граничну зміну заряду та розряду, що відповідає встановленню динамічної рівноваги

надає прогнозуючу оцінку зміни температури електроліту в порах пластин та над пластиналами для прийняття рішень на розряд електроакумулятора (см. рис. 2):

$$(P(\tau)(t_e(\tau)(-))), Z_{CC}(\tau). \quad (13)$$

Процес розряду електроакумулятора, що супроводжується зменшенням щільності електроліту в порах пластин та над пластиналами потребує також контролю температури електроліту в об'ємі акумулятора, як у фіксований інтервал часу, так і впродовж розряду при безперервному вимірюванні температури електроліту на вході та на виході із електроакумулятора.

Здобуття такої підсумкової

процесу електроакумулювання, не допускаючи використання зарядного току на газоутворення та недопустимий розряд електроакумуляторів.

Інтегровані ж за часом динамічні характеристики температури електроліту в порах пластин та над пластинами впродовж заряду та розряду надають можливість визначити термін заряду та розряду та через зміну щільності електроліту прогнозувати зміну напруги для прийняття рішень на заряд-розряд (см. рис. 3, 4).

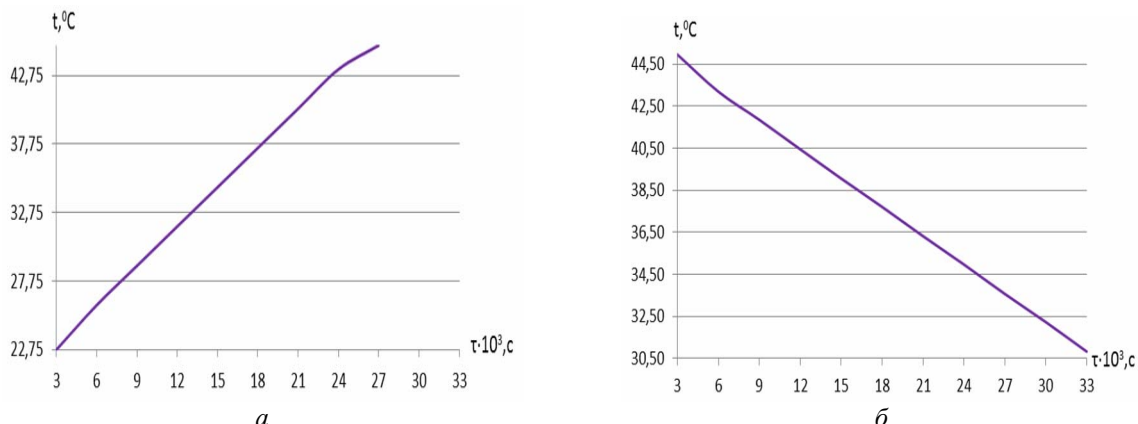


Рис. 3 – Прогнозування зміни температури електроліту в порах пластин та над пластинами впродовж розряду (а) та заряду (б) при напрузі 12 В

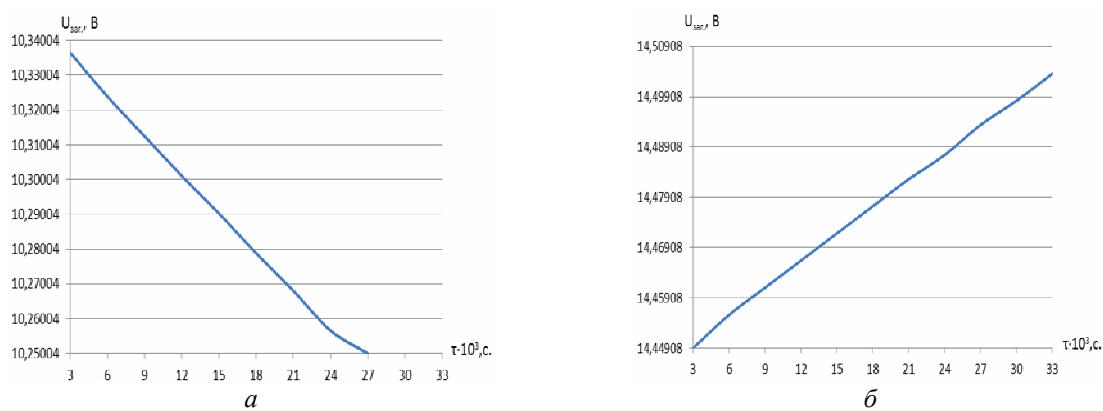


Рис. 4 – Прогнозування зміни загальної напруги 12 В впродовж розряду (а) та заряду (б)

Здобуття підсумкової інформації від блоку контролю CT_C :

$$(CT_C(\tau), (\Delta t(\tau) > \Delta t_{\text{розр.низ}}(\tau))), \quad (16)$$

надає можливість підтримувати заряд теплоелектроакумулятора, змінюючи витрату води, що нагрівається:

$$(P(\tau)(G_B(\tau)(+))), Z_{CC}(\tau), \quad (17)$$

де CT – контроль подій; D – динамічна підсистема; K – коефіцієнти математичного опису; P – властивості елементів технологічної системи; R – логічні відносини в технологічній системі; TS – технологічна система; Z – логічні відносини в динамічній підсистемі; d – динамічні параметри; f – параметри, що діагностуються; x – впливи; y – вихідні параметри; τ – час, с. Індекси: 1 – впливи; 2 – внутрішні параметри, що діагностуються; 3 – коефіцієнти рівнянь динаміки; 4 – істотні параметри, що діагностуються; 5 – динамічні параметри; c – контроль працездатності; s – стан;

е – електроліт в об’єму акумулятора; еп. – електроліт в порах пластин та над пластинами; вх., вих. – вхід, вихід із електроакумулятора; зар., роз. – заряд, розряд, відповідно; н – нагрівач; вст.розр.зар., вст.розр.роз. – встановлене, розрахункове значення параметра при заряді та розряді, відповідно; розр. – розрахункове значення параметра; розр.низ – розрахункове значення параметра низького рівня підігріву.

На основі аналітичної оцінки зміни температури води в теплоелектроакумуляторі впродовж заряду здобута інтегрована система зміни температури води, що нагрівається, при виконанні рішень на зміну витрати води продовж заряду (см. табл.).

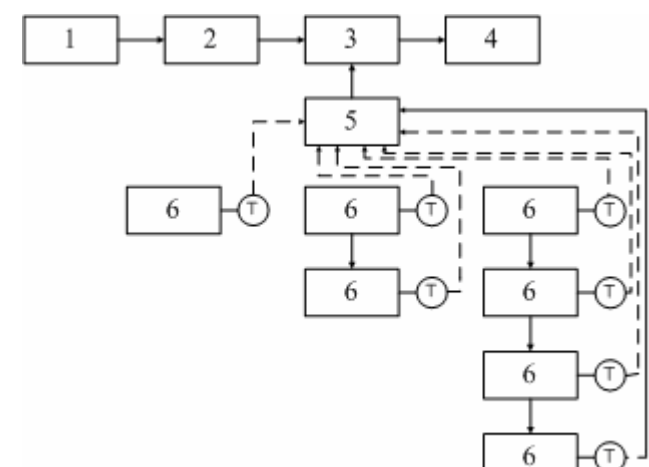
Таблиця

Підтримка процесу заряду теплоелектроакумулятора

Temperatura води, °C	Час, τ , год.						
	1	2	3	4	5	6	7
Пуск $G_B = 0,0055$ кг/с	30	–	–	–	–	–	–
Заряд $G_B = 0,0055$ кг/с	–	66,9	69,14	–	–	–	–
Прийняття рішення Заряд $G_B = 0,0063$ кг/с	–	–	–	75,96	78,5	79,4	–
Прийняття рішення Заряд $G_B = 0,014$ кг/с	–	–	–	–	–	–	82,4
Temperatura води, °C	Час, τ , год.						
	8	9	10	11	12	13	14
Заряд $G_B = 0,014$ кг/с	84,5	86	87,1	87,9	88,5	89	89,3
Temperatura води, °C	Час, τ , год.						
	15	16	17	18	19	20	21
Заряд $G_B = 0,014$ кг/с	89,5	89,6	89,7	89,8	89,9	90	90

Визначено, що прийняття прогнозуючих рішень на зміну рівня акумулювання теплоти за рахунок зміни витрати води, що нагрівається, надає можливість скоротити термін заряду до 30 % та додатково акумулювати якісну енергію в електроакумуляторних батареях.

У якості практичного використання інтегрованого акумулювання можливо запропонувати технологічну схему, що має у своєму складі температурні датчики для вимірювання температури електроліту на вході та на виході із електроакумуляторів (рис. 5).



Висновки

Використання аналітичної оцінки зміни температури електроліту в порах пластин та над пластиналами, що відбувається раніше за часом ніж зміна щільності електроліту та напруги дозволяє за рахунок використання теплової акумулюючої ємності електроліту зменшити термін заряду до 30 %. Такий результат за рахунок збільшення циклів заряд-розряд дозволяє збільшити до 25 % прибуток щодо використання ВЕУ потужністю 10 кВт та зменшити собівартість виробництва енергії та термін окупності вітроенергетичної установки до 25 %. При підключені ж у якості дублюючого джерела енергії, наприклад, дизельної установки, потужністю 10 кВт можливо, використовуючи інтегровану підтримку акумулювання, за рахунок зменшення терміну використання дизельного генератора до 30 % здобути економію дизельного палива, що в сумарному грошовому еквіваленті складає близько 110 тис. грн. за рік.

Список літератури: 1. Мацевитый, Ю.М. Термоэкономический анализ теплоносочной системы теплоснабжения [Текст] / Ю.М. Мацевитый, Н.Б. Чиркин, М.А. Кузнецов // Проблемы машиностроения. – 2010. – Т. 13, № 1. – С. 42-51. 2. Приходько, А.А. Математическое моделирование тепломассопереноса и электрических процессов в ячейке химического источника тока [Текст] / А.А. Приходько, В.И. Елисеев, Н.В. Бурылова // Промышленная теплотехника. – 2007. – Т. 29, № 3. – С. 43-46. 3. Чайковська, Є.Є. Функціонування енергетичних систем на рівні прийняття рішень [Текст] / Є.Є. Чайковська // Восточно-Европейский журнал передовых технологий. – 2012. – № 5/8(59). – С. 4-6. – ISSN 1729-3774. 4. Чайковская, Е.Е. Энергосберегающие технологии на основе интеллектуального управления тепломассобменными процессами [Текст] / Е.Е. Чайковская // Abstracts of the reports and communication XIY Minsk International Heat and Mass Transfer Forum. – Минск. – 2012. – Т. 2, Ч. 1. – С. 378-382. – ISBN 978-985-6456-81-0. 5. Чайковська, Є.Є. Енергозберігаючі технології на рівні прийняття рішень [Текст] / Є.Є. Чайковська // Вісник НТУ «ХПІ». Серія: Нові рішення в сучасних технологіях. – Х.: НТУ «ХПІ», 2012. – № 33. – С. 103-108. – ISSN 2079-5459. 6. Чайковська, Є.Є. Підтримка електроакумулювання на рівні прийняття рішень [Текст] / Є.Є.Чайковська // Вісник НТУ «ХПІ». Серія: Нові рішення в сучасних технологіях. – Х.: НТУ «ХПІ», 2012. – № 50(956). – С. 124-127. – ISSN 2079-3944.

Надійшла до редколегії 05.02.13

УДК 621.182.2.001.57

Підтримка акумулювання на рівні прийняття рішень [Текст] / Є.Є. Чайковська // Вісник НТУ «ХПІ». Серія: Енергетичні та теплотехнічні процеси й устаткування. – Х.: НТУ «ХПІ», 2013. – № 14(988). – С. 127-133. – Бібліогр.: 6 назв. – ISSN 2078-774X.

Предложено прогнозирование изменения параметров технологического процесса аккумулирования энергии на основе оценки изменения тепловой аккумулирующей емкости.

Ключевые слова: технология, аккумулирование, принятие решений.

It is suggested to prognosis of change of parameters of technological process of accumulation of energy on the basis of estimation of change of heat accumulation capacity.

Keywords: technology, accumulation, decision-making.